

تحلیل عددی جریان پایدار سیال غیرنیوتئی بر روی صفحه تخت در اعداد رینولدز متوسط به روش حجم محدود

یاشار مغمومی^۱، سید محمود ابوالحسن علوی^۲، محمد رضا صفائی^۳ و ایمان نوراللهی^۴
Y.maghmoumi@gmail.com

چکیده

در این مطالعه با در نظر گرفتن یک شبکه متعامد منطبق بر مرز، فرم گستته معادلات حاکم با روش حجم کنترل به دست آمده و با استفاده از الگوریتم سیمپل حل شده‌اند. برای این منظور خطوط موازی با محورهای x و y به شبکه‌های کوچکتر تقسیم و سپس فرم گستته معادلات برای هر یک از نقاط شبکه نوشته شده و بدین ترتیب یک سیستم معادلات جبری حاصل شده است. به علت تغییرات شدید در نزدیکی دیواره ورودی، شبکه در نزدیکی دیواره و قسمت‌های ابتدایی فشرده‌تر در نظر گرفته شده است. جهت انجام محاسبات در این پژوهش، برنامه‌ای کامپیوتری با زبان Visual Basic 6.0 نوشته شده و برای اطمینان از صحت برنامه، نتایج به دست آمده با نتایج سیال نیوتئی و نرم افزار فلولئت مقایسه شده است. علاوه بر این، صحت تقریب‌های لایه مرزی نیز بررسی شده است. بررسی نتایج نشان می‌دهد که تقریب‌های لایه مرزی در اعداد رینولدز زیر ۱۰۰۰ دارای دقت قابل قبولی نمی‌باشند. همچنین مشخص می‌کند که افزایش ضرایب توانی در سیال توانی اندازه لایه مرزی افزایش و با کاهش آن، کاهش می‌باید.

کلیدواژه:

سیال غیر نیوتئی - جریان پایا - صفحه تخت - اعداد رینولدز متوسط- روش حجم محدود

۱- کارشناس ارشد، مهندسی مکانیک، دانشگاه آزاد اسلامی واحد مشهد
۲- استادیار، دانشکده مهندسی مکانیک، دانشگاه آزاد اسلامی واحد مشهد

۳- دانشجوی کارشناس ارشد مهندسی مکانیک و عضو باشگاه پژوهشگران جوان، دانشگاه آزاد اسلامی واحد مشهد

۴- دانشجوی کارشناسی ارشد، دانشگاه آزاد اسلامی واحد مشهد

اخيراً يائو و ملا [۸] جريان سيال غيرنيوتني توانی با حدود بالا و پایین ويستکوزیته را بررسی کردند. آنان نتایج خود را برای $m=0.891$, $n=0.95$ و حدود بالا و پایین $0.5/0.05$ به دست آوردند. با وجود اينکه ويستکوزیته زياد و متعاقب آن اعداد رينولدز پایین موضوع اغلب جريان سيالات غيرنيوتني است خطای ناشی از اعمال ثوری لایه مرزی موضوعی مهم است که اغلب نادیده گرفته می شود.

در اين مطالعه، حرکت سيال غيرنيوتني بر روی صفحه تخت با استفاده از مدل Modified Power law بررسی می شود که دارای دو حد ويستکوزیته صفر و بی نهايیت می باشد. همچنين ابتدا نتایج کد نوشته شده برای سيال نيوتنی در رينولدزهای مختلف با نتایج ارائه شده توسط دیگران مقایسه می شود، سپس برای يك توان مشخص (n=1.2) نتایج کد با نتایج حاصل از نرم افزار فلوبنت ۶ مقایسه می شود.

۲- مدل رياضي

با در نظر گرفتن مدل سيال بدون تنش تسليم يا توانی برای سيال غيرنيوتني می توان نوشت:

$$\tau_{ij} = m \left(\frac{\partial v_i}{\partial x_j} \right) \quad (1)$$

معادلاتی که بر جريان پايدار سيال غيرنيوتني بر روی صفحه تخت حاكم است، در دستگاه مختصات دکارتی عبارتند از:

معادله پیوستگی

$$\frac{\partial u}{\partial x} + \frac{\partial v}{\partial y} = 0 \quad (2)$$

معادله مومنتم در جهت x

$$\rho \left(\frac{\partial u^2}{\partial x} + \frac{\partial uv}{\partial y} \right) = - \frac{\partial P}{\partial x} \quad (3)$$

$$+ \frac{\partial}{\partial x} \left[\eta_{xx} \frac{\partial u}{\partial x} \right] + \frac{\partial}{\partial y} \left[\eta_{yx} \frac{\partial u}{\partial y} \right]$$

معادله مومنتم در جهت y

$$\rho \left(\frac{\partial uv}{\partial x} + v \frac{\partial v^2}{\partial y} \right) = - \frac{\partial P}{\partial y} + \quad (4)$$

$$\frac{\partial}{\partial x} \left[\eta_{xy} \frac{\partial v}{\partial x} \right] + \frac{\partial}{\partial y} \left[\eta_{yy} \frac{\partial v}{\partial y} \right]$$

که در آن

$$\eta_{xx} = \left| m \left(\frac{\partial u}{\partial x} \right)^{n-1} \right| \quad (5)$$

$$\eta_{yx} = \left| m \left(\frac{\partial u}{\partial y} \right)^{n-1} \right| \quad (6)$$

۱- مقدمه
از دير باز رفتار سيالات و خصوصيات آنها همواره مورد توجه بوده است. رفتار جريان بسياري از سيالات تک فازی که صرفاً شامل تركيباتی با وزن مولکولی پایین هستند با در نظر گرفتن رابطه خطی بين تغييرات تنش برشی و آهنگ كرنش برشی شبیه سازی می شود. اين سيالات به سيالات نيوتنی موسوم هستند. پيشرفت صنعت شيمی در اوائل قرن بيستم منجر به ظهور طيف گسترده ای از مواد مصنوعی مانند پلیمرها گردید. علاوه بر اين با استفاده از مواد بوجود آمد که رفتار عجیبی از خود نشان می دادند، زیرا روابط مربوط به سيالات نيوتنی قادر به پیش بینی رفتار برشی آنها نبود. چون نمی توان رفتار جرياني اين سيالات را با مدل نيوتنی توصيف کرد، از اين رو مدل های رفتار جرياني دیگری برای سيالات غيرنيوتني ارائه شده است که کاربرد فراوانی در شبیه سازی های کامپیوتري دارند.

اولین بررسی ها روی انتقال حرارت جابه جایی سيالات غيرنيوتني، توسط شنوی و مشلکار [۱] و اروین و کرني [۲] انجام شده است. همچنان آكريوس و همكاران [۳] اولین کسی بود که انتقال حرارت جابه جایی اجباری روی يك صفحه تخت را برای سيالات غيرنيوتني توانی مطالعه کرد. او حل عددی برای ضریب اصطکاک پوسته ای را به دست آورد و با استفاده از تقریب سرعت خطی لایت هیل¹ معادله انرژی را با فرض لایه مرزی حرارتی بسيار کوچکتر از لایه مرزی سيالاتی حل کرده و عدد ناسلت را به دست آورد. به علت اينکه معادله مومنتم به شدت غیر خطی است، حل تشابهی حتى برای حالت انتقال حرارت بر روی صفحه تخت دما ثابت نیز به دست نیامده است. روش بسط سری مرک منجر به ارائه توابع جهانی مستقل از هندسه در سيالات غير نيوتنی توانی توسط چن و رادولوویچ [۴] برای جريان های گوه و کیم و همکاران [۵] برای حالت دو بعدی با تقارن محوری شده است.

ناکایاما و همکاران [۶] معادلات انگرالی مومنتم و انرژی را به يك جفت معادله مشخصه کاهش دادند و فاكتور شکل سرعت و نسبت ضخامت لایه مرزی را به دست آوردند. آنها يك مجانب را برای تقریب نرخ انتقال حرارت سيالات غيرنيوتني توافق ارائه کردند. نتایج عددی که شامل اثر جملات اینرسی بر نرخ انتقال حرارت بر روی صفحه تخت می باشد توسط هوآنگ و چن [۷] ارائه شده است.

می‌شوند و از آنجا که از دو شبکه منطبق بر هم استفاده می‌شود، آنها را شبکه‌های اولیه و ثانویه نامیده می‌شود. مکان‌های مربوط به u در شکل(۲) با بردارهای کوتاه نشان داده شده، در حالی که گره‌ها به وسیله دایره‌های کوچک مشخص شده‌اند. خطوطی که به صورت خط چین ترسیم شده‌اند مشخص کننده وجود حجم کنترلی می‌باشند. توجه شود نسبت به گره‌های اصلی، مکان‌های u فقط در امتداد x جایه جا شده‌اند. به همین صورت شکل(۳) مکان‌های v را نشان می‌دهد.

حال با درنظر گرفتن قاعده بالادست^۲، روابط انفال را می‌توان به

صورت زیر نوشت:

معادله سرعت در جهت x :

$$\begin{aligned} u_e \cdot A_e &= A_{ne} \cdot u_{ne} + A_{se} \cdot u_{se} + A_{ee} \cdot u_{ee} \\ &+ A_w \cdot u_w + (P_p - P_E) \cdot \Delta y \end{aligned} \quad (13)$$

که در آن ضرایب به صورت زیر بدست می‌آینند:

$$\begin{aligned} A_{ne} &= D_{ne} + \text{Max}(-F_{ne}, 0) \\ A_{se} &= D_{se} + \text{Max}(0, F_{se}) \\ A_{ee} &= D_{ee} + \text{Max}(-F_{ee}, 0) \\ A_w &= D_w + \text{Max}(0, F_w) \end{aligned} \quad (14)$$

$$A_e = A_e + A_{se} + A_{ee} + A_w$$

که در آن D و F به این صورت تعریف می‌شوند:

$$\begin{aligned} D_{ne} &= G_{ne} \cdot \frac{\Delta x}{\delta y} \\ D_{se} &= G_{se} \cdot \frac{\Delta x}{\delta y} \\ D_w &= G_w \cdot \frac{\Delta y}{\Delta x} \\ D_{ee} &= G_{ee} \cdot \frac{\Delta y}{\Delta x} \end{aligned} \quad (19)$$

$$\begin{aligned} F_{ne} &= \rho V_{ne} \cdot \Delta y \\ F_{se} &= \rho V_{se} \cdot \Delta y \\ F_w &= \rho V_w \cdot \Delta x \\ F_{ee} &= \rho V_{ee} \cdot \Delta x \end{aligned} \quad (20)$$

$$\begin{aligned} G_{ne} &= m \left| \frac{u_{ne} - u_e}{\Delta y} \right|^{n-1} \\ G_{se} &= m \left| \frac{u_e - u_{se}}{\Delta y} \right|^{n-1} \\ G_w &= m \left| \frac{u_e - u_w}{\Delta x} \right|^{n-1} \\ G_{ee} &= m \left| \frac{u_{ee} - u_e}{\Delta x} \right|^{n-1} \end{aligned} \quad (21)$$

$$\eta_{xy} = \left| m \left(\frac{\partial v}{\partial x} \right)^{n-1} \right| \quad (7)$$

$$\eta_{yy} = \left| m \left(\frac{\partial v}{\partial y} \right)^{n-1} \right| \quad (8)$$

۳- مدل فیزیکی و شرایط مرزی

نمای طرحواره این مطالعه، در شکل(۱) نشان داده شده است.

همچنین شرایط مرزی بر روی این شکل مشخص شده‌اند که، این

شرایط مرزی عبارتند از:

مرز CD (فاصله دور):

$$\begin{cases} u = u_\infty \\ v = 0 \\ p = p_\infty \end{cases} \quad (9)$$

مرز AD (وروودی):

$$\begin{cases} u = u_\infty, \\ v = 0 \quad \text{or} \quad \frac{\partial v}{\partial x} = 0 \\ p = p_\infty \quad \text{or} \quad \frac{\partial p}{\partial x} = \frac{1}{Re} \frac{\partial^2 u}{\partial x^2} \end{cases} \quad (10)$$

مرز AB (سطح جامد):

$$\begin{cases} u = 0, \\ v = 0 \\ \frac{\partial p}{\partial y} = \frac{1}{Re} \frac{\partial^2 v}{\partial y^2} \end{cases} \quad (11)$$

مرز BC (خروجی):

$$\begin{cases} \frac{\partial u}{\partial x} = 0 \\ \frac{\partial v}{\partial y} = 0 \\ \frac{\partial p}{\partial x} = 0 \end{cases} \quad (12)$$

۴- انفال معادلات حاکم

در مسائلی که قوانین حاکم به ترتیب حل می‌شود، بهتر است گسسته سازی به صورتی نوشته شود که برای شبکه بندی موسوم به شبکه جا به جا شده مناسب باشد.

این روش امکان به هم جفت کردن متغیرها را فراهم می‌کند و پایداری را بهبود می‌بخشد. در شبکه جا به جا شده، مولفه‌های سرعت برای نقاطی که روی وجود حجم‌های کنترلی قرار دارند محاسبه

که α_p ضریب زیرتخفیف محاسبه فشار بوده و معمولاً این عدد کمتر از $1/6$ انتخاب می‌شود. همچنین دیگر ضرایب برای مجزاسازی نقطه مورد نظر، به کمک روابط مربوطه به دست می‌آیند.

$$du_n = \frac{\Delta y}{A_e} \quad (22)$$

معادله سرعت در جهت y:

$$v_n \cdot A_n = A_{nn} \cdot v_{nn} + A_{ne} \cdot v_{ne} + A_{nw} \cdot v_{nw} \\ + A_s \cdot v_s + (P_p - P_N) \cdot \Delta x \quad (23)$$

$$A_{nn} = D_{nn} + \text{Max}(-F_{nn}, 0) \\ A_{ne} = D_{ne} + \text{Max}(-F_{ne}, 0) \\ A_{nw} = D_{nw} + \text{Max}(0, F_{nw}) \quad (24)$$

$$A_s = D_s + \text{Max}(0, F_s)$$

$$A_n = A_s + A_{nw} + A_{ne} + A_{nn}$$

$$D_{nn} = G_{nn} \cdot \frac{\Delta x}{\delta y} \quad (25)$$

$$D_{ne} = G_{ne} \cdot \frac{\Delta y}{\delta x}$$

$$D_{nw} = G_{nw} \cdot \frac{\Delta y}{\delta x}$$

$$D_s = G_s \cdot \frac{\Delta x}{\delta y}$$

$$F_{nn} = \rho V_{nn} \cdot \Delta y$$

$$F_{ne} = \rho V_{ne} \cdot \Delta x$$

$$F_{nw} = \rho V_{nw} \cdot \Delta x$$

$$F_s = \rho V_s \cdot \Delta y$$

$$G_{nn} = m \left| \frac{V_{nn} - V_n}{\Delta y} \right|^{n-1}$$

$$G_{ne} = m \left| \frac{V_{ne} - V_n}{\Delta x} \right|^{n-1} \quad (27)$$

$$G_{nw} = m \left| \frac{V_n - V_{nw}}{\Delta x} \right|^{n-1}$$

$$G_s = m \left| \frac{V_n - V_s}{\Delta y} \right|^{n-1}$$

معادله تصحیح فشار

$$a_p P'_p = a_E P'_E + a_w P'_w + a_n P'_n + a_s P'_s + b \quad (28)$$

$$a_p = a_e + a_w + a_n + a_s \quad (29)$$

$$a_E = \rho \cdot \Delta y \cdot d_e$$

$$a_w = \rho \cdot \Delta y \cdot d_w \quad (30)$$

$$a_n = \rho \cdot \Delta x \cdot d_n$$

$$a_s = \rho \cdot \Delta x \cdot d_s$$

$$b = \rho \cdot \Delta x (v_s - v_n) + \rho \cdot \Delta y (u_w - u_e) \quad (31)$$

$$p = p^* + \alpha_p \cdot p' \quad (32)$$

$$x = \xi \quad (33)$$

$$y = H \frac{(\beta+1) - (\beta-1) \left\{ \left[(\beta+1)/(\beta-1) \right]^{1-\eta} \right\}}{\left[(\beta+1)/(\beta-1) \right]^{1-\eta} + 1} \quad (34)$$

در این معادله β ضریب تراکم در محدوده ۱ تا ∞ است. هرگاه β به سوی ۱ رود، نقاط زیادی نزدیک به سطح، یعنی در $y=0$ جمع می‌شوند. همچنین متريک های تبدیل را میتوان از روش تحلیلی محاسبه نمود.

$$\eta_x = 0 \quad (35)$$

۹- مقایسه نتایج با سیال نیوتی

مقایسه نتایج حاصل از کد با سیال نیوتی در اعداد رینولدز ۱۰۰۰، ۱۰۰۰ و ۲۰۰۰ انجام شده است. نیز خواص سیال طبق جدول (۱) انتخاب شده است.

شکل های (۵، ۶ و ۷) مکان لبه لایه مرزی را در ۱m ابتدای صفحه در مقایسه با دو تئوری بلازیوس و ون کارمن نشان می دهد. همان طور که در این شکل ها دیده می شود خطای برای $Re_L = 200$ در حدود ۲۸٪ در $Re_L = 1000$ و برای $Re_L = 10000$ نزدیک به ۳٪ می باشد. شکل (۸) اندازه لبه لایه مرزی در فاصله ۱m از ابتدای صفحه را در رینولدزهای مختلف را در مقایسه با تئوری های بلازیوس و ون کارمن به صورت لگاریتمی نشان می دهد. ملاحظه می گردد اندازه لبه لایه مرزی در اعداد رینولدز بالاتر از ۲۰۰۰ از موافقت خوبی با تئوری های بلازیوس و ون کارمن دارد ولی، با کاهش عدد رینولدز میزان خطای افزایش می یابد. همین طور شکل های (۱۱ و ۱۰) تغییرات ضریب اصطکاک موضعی را در ۱m ابتدای صفحه نشان می دهد. همان طور که مشاهده می شود، در $Re_L = 10000$ نتایج تحقیق حاضر دارای موافقت خوبی با تئوری های بلازیوس و ایمای می باشد که از این موافقت با کاهش عدد رینولدز کاسته می گردد. همچنین در شکل (۱۲) ضریب اصطکاک موضعی با تئوری اوسین در $Re_L = 1$ مقایسه شده است که موافقت بسیار خوبی را نشان می دهد.

با مقایسه نتایج تحقیق حاضر و تئوری های موجود مشخص می گردد که نتایج تئوری بلازیوس در اعداد رینولدز بالاتر از ۲۰۰۰ دقیق مناسبی دارد ولی نتایج آن برای رینولدزهای پایینتر از ۱۰۰۰ دارای خطای زیادی می باشد و با کوچکتر شدن عدد رینولدز، خطای ناشی از اعمال تئوری بلازیوس بیشتر می شود. این امر به خوبی در شکل (۸) مشاهده می شود. همچنین مشخص می گردد که نتایج تئوری اوسین در بازه اعداد رینولدز خوشی دارای دقت بسیار مناسبی است. در شکل (۹) مقادیر ضریب درگ در سیال نیوتی با نتایج تجربی وايت [۲۱] در بازه رینولدزهای متوسط مقایسه شده است که همخوانی نتایج با نتایج تجربی بسیار خوب می باشد و می توان به صحت نتایج کد نوشته شده پی برد.

۱۰- مقایسه نتایج با نرم افزار فلوئنت در حالت غیرنیوتی

در مقایسه نتایج تحقیق حاضر با نرم افزار فلوئنت توجه به چند نکته دارای اهمیت است:

۱- چون نرم افزار فلوئنت قادر به تعریف شرایط مرزی بینهایت نیست، لذا باید شبکه هندسی را بسیار بزرگ انتخاب کرد تا نتایج

$$\eta_y = \frac{2\beta}{H} \left\{ \ln \left[\frac{(\beta+1)}{(\beta-1)} \right] \right\} \quad (36)$$

شکل (۴) شبکه بندی مسئله را نشان می دهد. در این مطالعه، از یک شبکه متعامد منطبق بر مرزهای فیزیکی 100×100 استفاده شده است. برای این منظور حوزه جریان با در نظر گرفتن خطوط موازی محورهای x و y به شبکه های کوچکتری تقسیم می شود به علت تغییرات شدید در نزدیکی دیواره ورودی، تعداد شبکه در نزدیکی دیواره بیشتر در نظر گرفته شده است ($\beta = 1.04$).

۷- الگوریتم حل معادلات

۱- شبکه بندی در فضای فیزیکی با استفاده از اطلاعات هندسی داده شده، تولید می شود.

۲- ژاکوبین ها و متریک ها با استفاده از اطلاعات بدست آمده از تولید شبکه، محاسبه می شوند.

۳- شرایط مرزی دیواره، ورودی، فواصل دور و خروجی اعمال می شود.

۴- میدان فشار حدس زده می شود.

۵- معادلات مقدار حرکت حل می شود تا مقادیر u^* , v^* , p^* محاسبه شوند.

۶- معادله p' حل می شود.

۷- از اضافه کردن p' به p^* محاسبه می شود.

۸- با استفاده از فرمول های تصحیح، سرعت مقادیر u , v , p از مقادیر ستاره دار آنها به دست می آید.

۹- فشار تصحیح شده p ، به عنوان p^* استفاده شده و به گام ۵ باز می گردد و تا همگرایی کامل میدان فشار و سرعت مراحل انجام می شود.

۱۰- حال که میدان جریان و فشار به دست آمد، شرایط مرزی معادله انرژی در دیواره، ورودی، فواصل دور و خروجی اعمال می شود.

۱۱- زیر برنامه Print فرا خوانده می شود.

۸- بحث بر روی نتایج

در این قسمت، حرکت سیال غیرنیوتی بر روی صفحه تخت بررسی می گردد. همچنین ابتدا نتایج کد نوشته شده برای سیال نیوتی در رینولدزهای مختلف با نتایج ارائه شده توسعه دیگران مقایسه می شود، سپس برای یک توان مشخص ($n=1.2$) نتایج کد با نتایج حاصل از نرم افزار فلوئنت ۶ مقایسه می شود.

- ۳- در سیالات برش- نازک شونده^۳، لایه مرزی و ضریب اصطکاک موضعی با کوچکتر شدن توان کوچکتر می‌شود.
- ۴- در سیالات برش- ضخیم شونده^۴، لایه مرزی و ضریب اصطکاک موضعی با بزرگتر شدن توان بزرگتر می‌شود.
- ۵- در سیالات برش- نازک شونده در توان های کوچک، حل شبه تشابهی از دقت خوبی برخوردار است.
- ۶- نتایج تئوری بلازیوس در اعداد رینولدز بالاتر از ۲۰۰۰ دقت مناسبی دارد ولی نتایج آن برای رینولدزهای پایین‌تر از ۱۰۰۰ دارای خطای زیادی می‌باشد.
- ۷- نتایج تئوری اوسین در بازه رینولدزهای زیر ۱ دارای دقت بسیار مناسبی است.

۱۳- فهرست علائم

u, v	اجزاء سرعت
x, y, z	مختصات کارتزین
P	فشار
n	شاخص رفتار جریان
m	شاخص پایداری
Re	عدد رینولدز

۱۴- علائم یونانی

ρ	چگالی هوا
μ	لزجت دینامیکی
β	ضریب تراکم
η	ویسکوزیته ظاهری
τ	تنش برشی

قابل قبول حاصل شود. در مطالعه حاضر از شبکه هندسی 4×10 متر استفاده شده است.

۲- حتی با انتخاب شبکه هندسی بزرگ نیز، نتایج دارای خطای آشکار می‌باشد. به نحوی که در شکل(۱۳) نیز مشاهده می‌شود سرعت جریان آزاد در حدود ۶٪ بیش از u_{∞} می‌باشد.

۳- در شکل‌های (۱۴، ۱۵ و ۱۶) نتایج حاصل از کد نوشته شده با نرم افزار فلوئنت در رینولدزهای ۱۰۰، ۲۰۰ و ۱۰۰۰۰ مقایسه شده است که با توجه به حدس میدان سرعت بالاتر توسط نرم افزار فلوئنت، به دست آوردن ضرایب اصطکاک پوسته‌ای کمتر قابل توجیه می‌باشد.

۱۱- بحث بر روی نتایج در حالت غیرنیوتی

شکل‌های (۱۷ و ۱۸) اندازه لبه لایه مرزی را به ترتیب در توان‌های $n=0.1$ و $n=2.0$ در $1m$ ابتدای صفحه نشان می‌دهد. مشاهده می‌گردد. با کاهش عدد رینولدز، اندازه لبه لایه مرزی افزایش می‌یابد. همچنین نکته قابل توجه دیگر، تغییر شکل پروفیل لایه مرزی در توان‌های مختلف و تغییر شبی آن می‌باشد. در شکل(۱۹) ضریب اصطکاک موضعی در $Re_L = 1000$ با نتایج ناکامایا و همکاران [۶] و هوانگ و چن [۷] مقایسه گردیده است. همان‌گونه که دیده می‌شود نتایج تحقیق حاضر موافقت خوبی با این نتایج دارد. در شکل(۲۰) نیز نتایج تحقیق حاضر در توان‌های مختلف ارائه شده است.

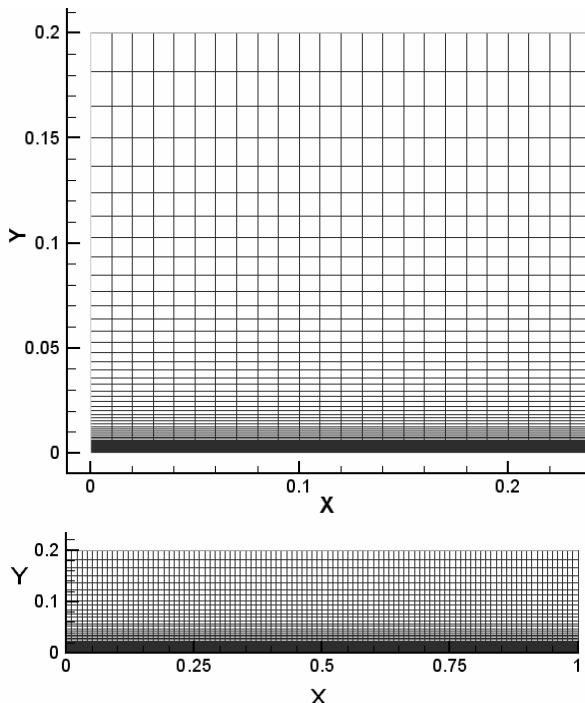
با مشاهده شکل(۲۰) مشخص می‌گردد که همانند سیالات نیوتی، در سیالات غیرنیوتی نیز نتایج مقالات که اکثرًا به کمک روش شبه تشابهی به دست آمده‌اند در اعداد رینولدز زیر ۱۰۰۰ دارای خطای قابل توجه می‌باشند. همچنین شکل‌های (۲۱ و ۲۲) پروفیل‌های سرعت بی‌بعد را بر حسب $\eta_0 = \left(\frac{y Re_x^{1/(1+n)}}{x} \right)$ در توان‌های $n=0.1, 2.0$ نشان می‌دهد همان‌گونه که از مشاهده این دو شکل مشخص می‌گردد با افزایش توان، پروفیل‌های سرعت زودتر به ۱ میل می‌کنند همچنین با افزایش عدد رینولدز، پروفیل‌ها دیرتر به سمت ۱ میل می‌کنند.

۱۲- نتیجه‌گیری

- فرمول‌های ارائه شده برای سیالات نیوتی در بازه اعداد رینولدز زیر ۱۰۰۰ معتبر نیستند.
- نتایج شبی تشابهی ارائه شده برای سیالات غیر نیوتی در بازه اعداد رینولدز زیر ۱۰۰۰ معتبر نیستند.

3- Shear-thinning or Pseudoplastic
4- Shear-thickening or Dilatant

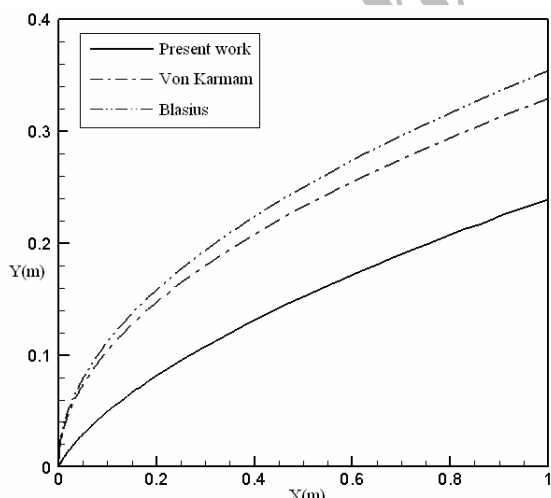
۱۵- جدول‌ها، منحنی‌ها و شکل‌ها



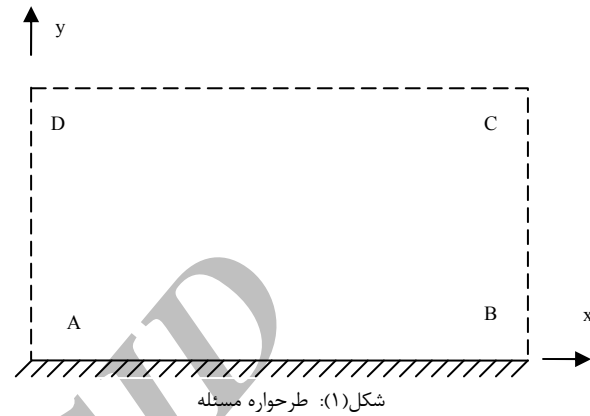
شکل(۴): شبکه هندسی استفاده شده در مطالعه

جدول(۱): خواص سیال مطالعه شده

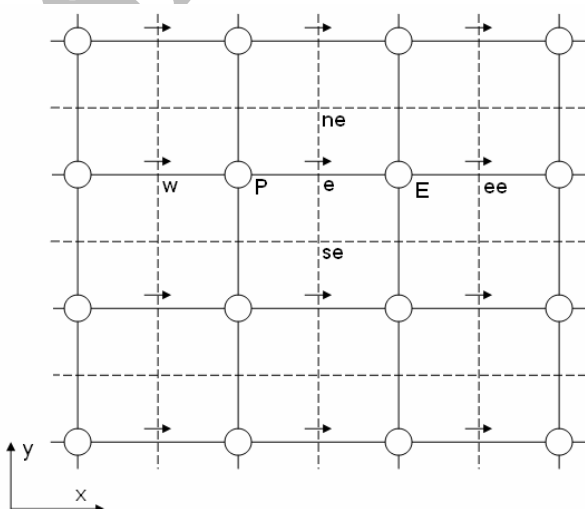
μ_∞	μ_0	ρ	u_∞
$1000 \frac{kg}{m \cdot s}$	$0.001 \frac{kg}{m \cdot s}$	$1000 \frac{kg}{m^3}$	$1 \frac{m}{s}$



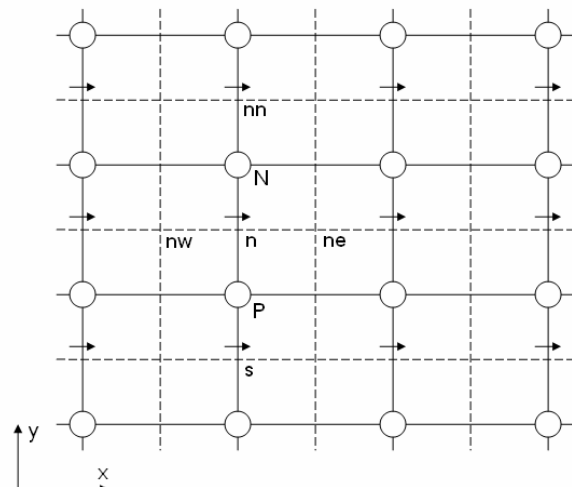
شکل(۵): مقایسه لایه مرزی های تئوری بلازیوس و مطالعه حاضر در برای سیال نیوتی $ReL = 200$



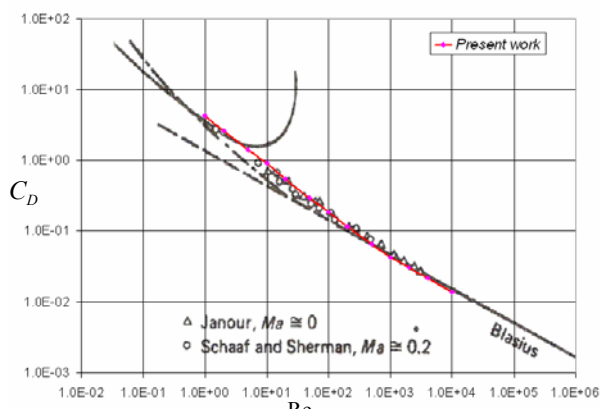
شکل(۱): طرحواره مسئله



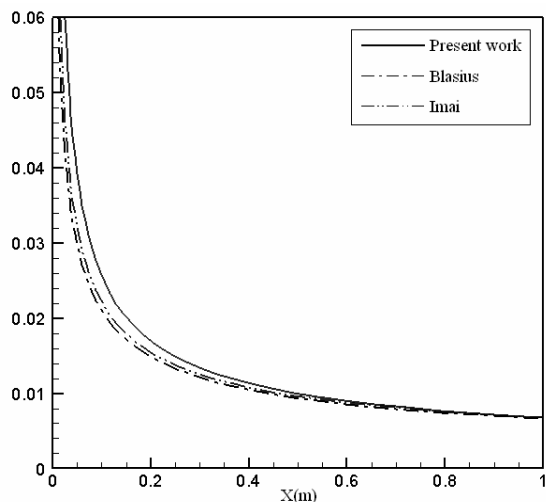
شکل(۲): مکان های جایه جا شده برای u



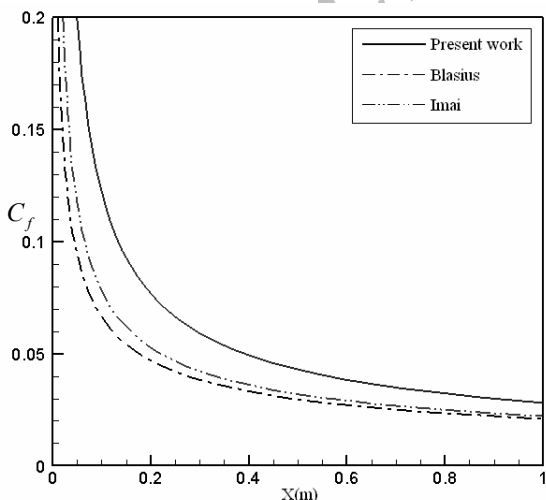
شکل(۳): مکان های جایه جا شده برای v



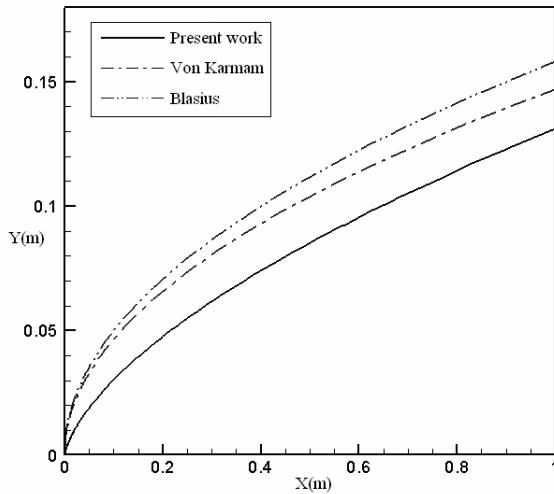
شکل(۹): مقادیر تجربی و تئوری بلازیوس در مقایسه با نتایج تحقیق حاضر



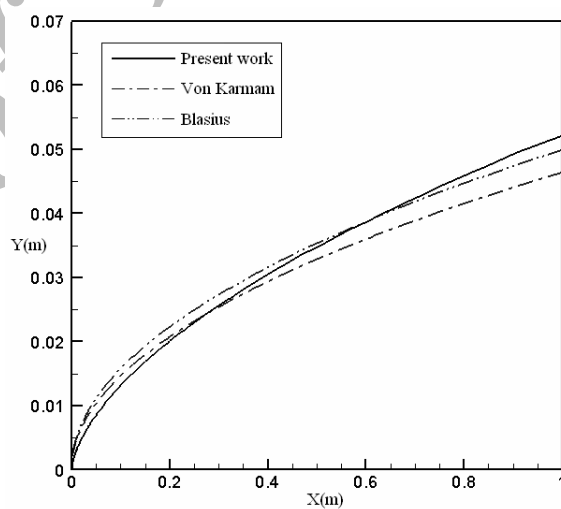
شکل(۱۰): مقایسه C_f تئوری بلازیوس، ایمای و تحقیق حاضر در $Re_L = 1000$ برای سیال نیوتینی



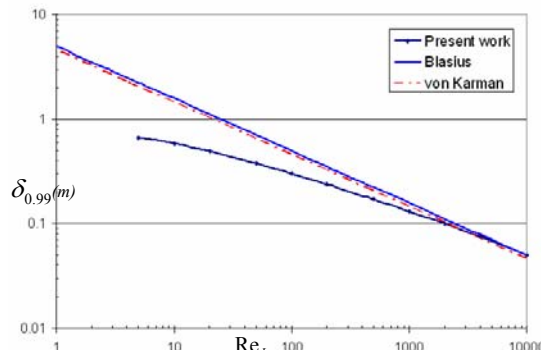
شکل(۱۱): مقایسه C_f تئوری بلازیوس و تحقیق حاضر در $Re_L = 1000$ برای سیال نیوتینی



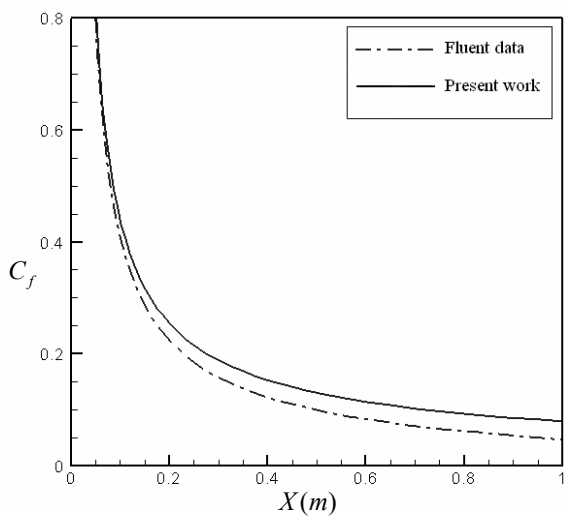
شکل(۱۲): مقایسه لایه مرزی های تئوری بلازیوس و مطالعه حاضر در $Re_L = 1000$ برای سیال نیوتینی



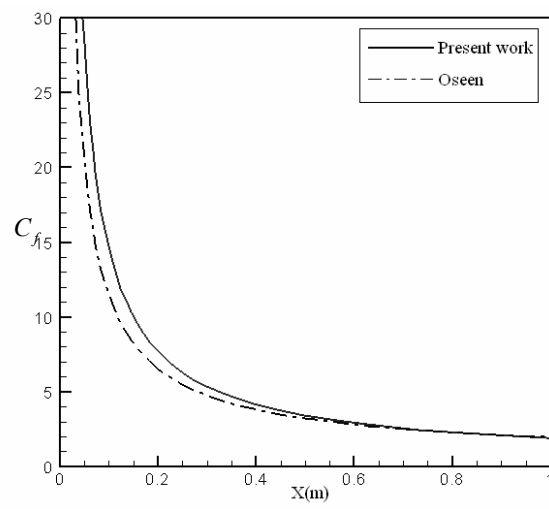
شکل(۱۳): مقایسه لایه مرزی های تئوری بلازیوس و مطالعه حاضر در $Re_L = 10000$ برای سیال نیوتینی



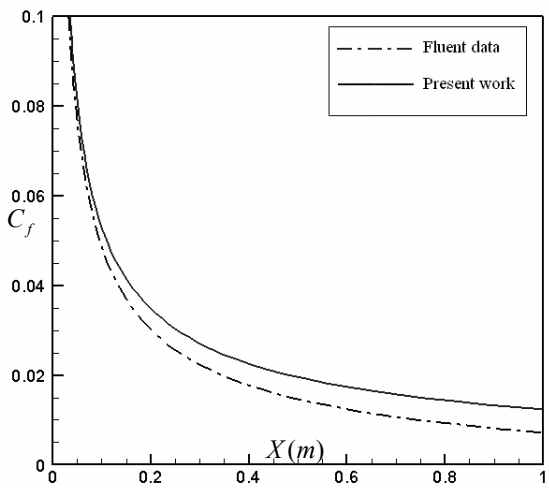
شکل(۱۴): مکان لایه مرزی در مقایسه با تئوری های بلازیوس و ون کارمن در رینولدز های مختلف برای سیال نیوتینی



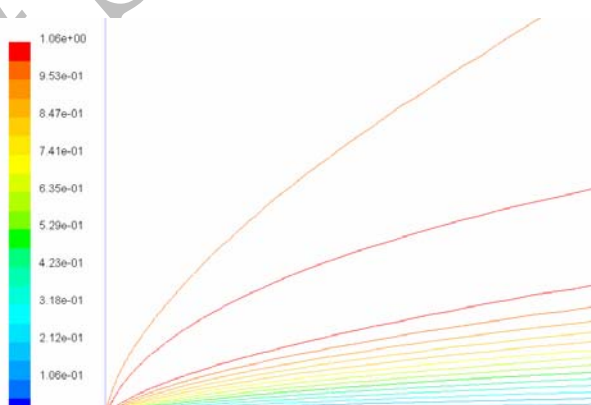
شکل(۱۵): مقایسه ضریب اصطکاک محلی در $ReL = 200$ در



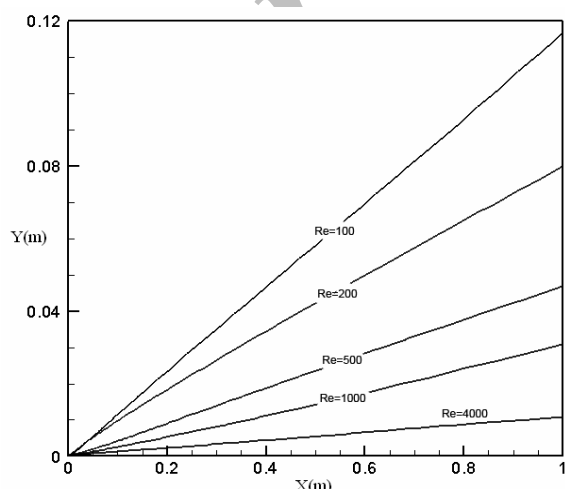
شکل(۱۲): مقایسه Cf_5 تئوری اوسین و تحقیق حاضر در ۱ برای سیال نیوتونی



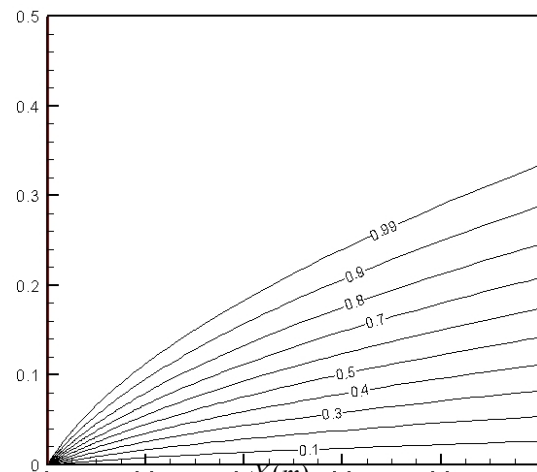
شکل(۱۶): مقایسه ضریب اصطکاک محلی در $ReL = 1000$ در



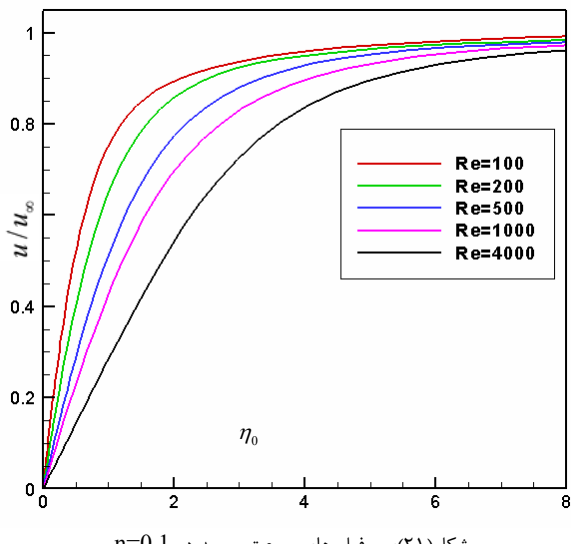
شکل(۱۳): کانتور سرعت نرم افزار فلوبنت در $ReL = 100$ در



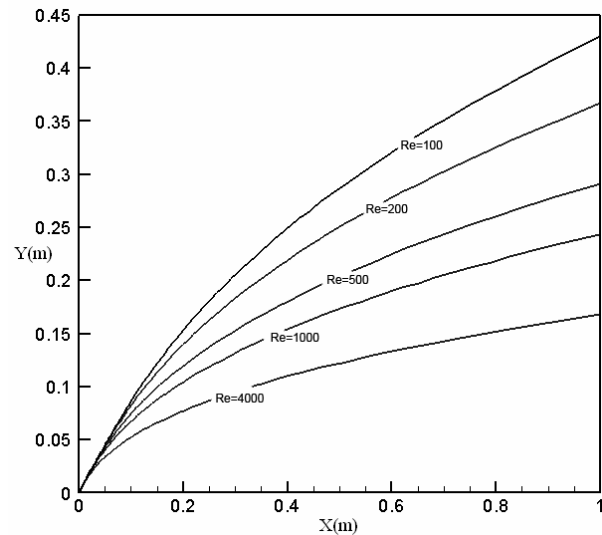
شکل(۱۷): لایه مرزی سیال برش-نازک شونده در $n=0.1$



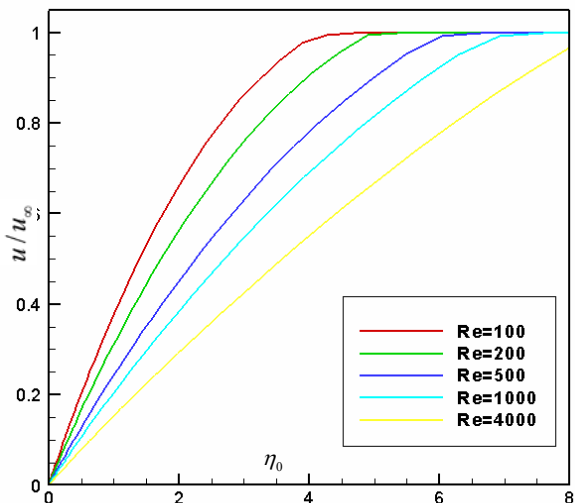
شکل(۱۴): کانتور سرعت حاصل از کد در $ReL = 100$ در



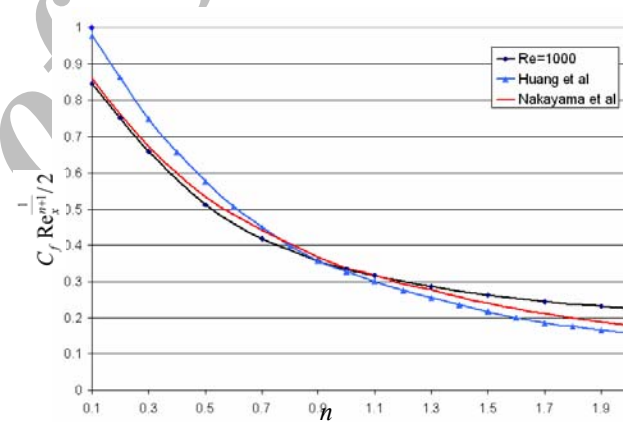
شکل(۲۱): پروفیل های سرعت بی بعد در $n=0.1$



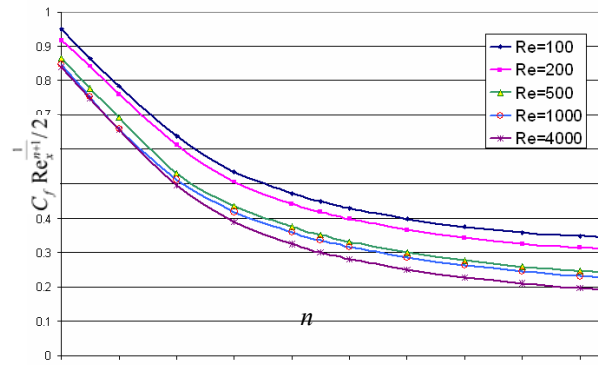
شکل(۱۸): لایه مرزی سیال برش - خیم شونده در $n=2.0$



شکل(۲۲): پروفیل های سرعت بی بعد در $n=2.0$



شکل(۱۹): مقایسه ضرایب اصطکاک موضعی در $Re_L=1000$



شکل(۲۰): مقایسه ضرایب اصطکاک موضعی در رینولدزهای ۲۰۰، ۱۰۰۰، ۴۰۰۰، ۵۰۰۰، ۱۰۰۰۰ و ۲۰۰۰۰

۱۶- مراجع

- [1] A. V. Shenoy and R. A. Mashelkar, "Thermal Convection in Non-Newtonian Fluids", *Adv. Heat Transfer*, No. 15, pp. 143-225, 1989.
- [2] T. F. Irvine and J Karni, "Non-Newtonian Fluid Flow and Heat Transfer. Handbook of Single-phase Convection Heat Transfer", Wiley, New York, 1993.
- [3] A. M. Acrivos, J. J. Shah and E. E. Petersen., "Momentum and Heat Transfer in Laminar Boundary-layer Flow of Non-Newtonian Fluids Past External Surfaces", *A.I.Ch. E. J.*, pp. 312-317, 1960.
- [4] L. S. Chen and P. T. Radulovic, "Heat Transfer in Non-Newtonian Flow Past a Wedge with Non-Isothermal

- [12] D. A. Anderson, J. C. Tannehill, R. H Pletcher; "Computational Fluid Mechanics and Heat Transfer", second edition, Hemisphere Washington, 1998.
- [13] R. I. Tanner, K. Walters, "Rheology: An Historical Perspective", Elsevier, Amsterdam, 2000.
- [14] H. O. Bae, H. j. Choe, "Theory of Non- Newtonian flow. Mathematics Subject Classification", 76A05, 1996.
- [15] R. G. Larson, "The Structure and Rheology of Complex Fluid", Oxford University Press, New York, 1999.
- [16] C. Tu, M. Deville, "Pulsatile Flow of Non-Newtonian Fluids through Arterial Stenoses", *J. Biomechanics*, No. 29, pp. 899-908, 2002.
- [17] H. Zhu, Y. D. Kim and D. Dekee, "Non-Newtonian fluids with a yield stress", *J. Non-Newtonian Fluid Mech.*, No. 129, pp. 177–181, 2005.
- [18] J. Mewis, K. Dullaert, "Thixotropy: build-up and breakdown curves during flow", *J. Rheol.*, No. 49, pp. 1213–1230, 2005.
- [19] J. Mewis, K. Dullaert, "A structural kinetics model for thixotropy", *J. Non-Newtonian Fluid Mech.*, No. 139, pp. 21–30, 2006.
- [20] F. S. Sherman, "Viscous Flow", McGraw Hill., New York, 1990.
- [21] F. M. White, "Viscous Fluid Flow", McGraw Hill, 3rd edition, New York, 2005.
- [5] Surface", ASME J. Heat Transfer, No. 95, pp. 498-504, 1976.
- [6] H. W. Kim, D. R. Jeng and K. J. Dewitt, "Momentum and Heat Transfer in Power-law Fluid Flow Over Two-Dimensional or Axe symmetrical Bodies", Int. J. Heat Mass Transfer, No. 26 , pp. 245-259, 1986.
- [7] A. Nakayama, A. V. Shenoy and H. Koyama, "An Analysis for Forced Convection Heat Transfer from External Surfaces to Non-Newtonian Fluids", Wärme-Stoffubertag, No. 20, pp. 219-227, 1993.
- [8] M. J. Huang and C. K. Chen, "Numerical Analysis for Forced Convection Over a Flat Plate in Power-law Fluids", Comm. Heat Mass Transfer, No. 11, pp. 361-368, 1992.
- [9] L. S. Yao and M. M. Molla, "The Boundary Layer of a Non-Newtonian Fluid on a Flat Plate", ASME J. Heat Transfer, 2007.
- [10] S. V. Patankar, "Numerical Heat Transfer and Fluid Flow", Hemisphere Washington, 1980.
- [11] H. Schlichting, "Boundary Layer Theory", Mc Graw-Hill, 1973.
- [12] J. F. Thompson, F. C. Thames and C. W. Mastin; "Boundary-Fitted Curvilinear Coordinate Systems For the Solution of Partial Differential Equations on Fields Containing Any Number of Arbitrary Tow-Dimensional Bodies", NACA CR-2729, 1982.